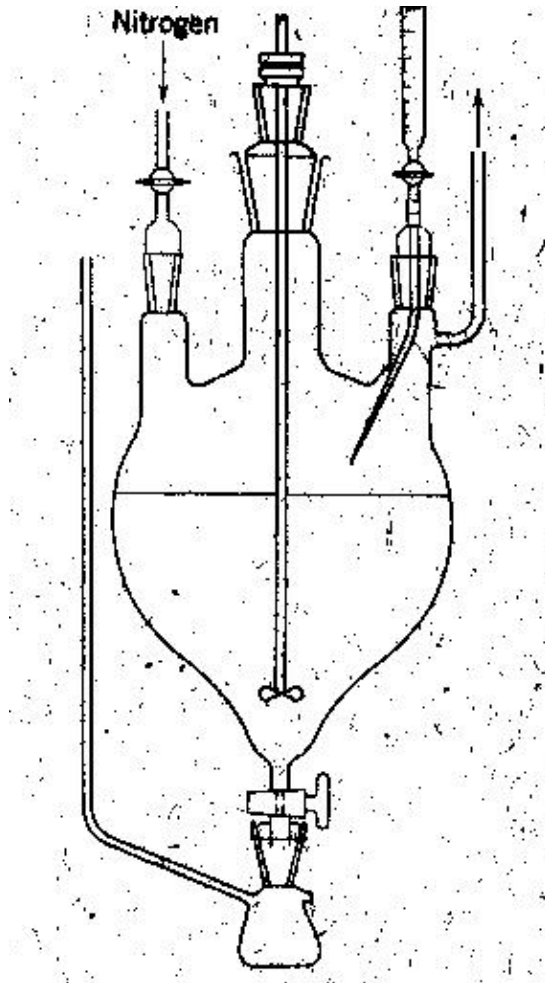


# FRACIONAMENTO POR SOLUBILIDADE



- Solução polimérica diluída
- Controle de temperatura
- Controle de atmosfera
- Adição de não-solvente
- Aquecimento/resfriamento
- Precipitação
- Isolamento do precipitado
- Repetição das operações

# DETERMINAÇÃO DE MASSAS MOLARES MÉDIAS

## ❖ MASSA MOLECULAR MÉDIA

❖ NUMÉRICA:  $(\bar{M}_n) = \frac{\sum n_i M_i}{\sum n_i}$

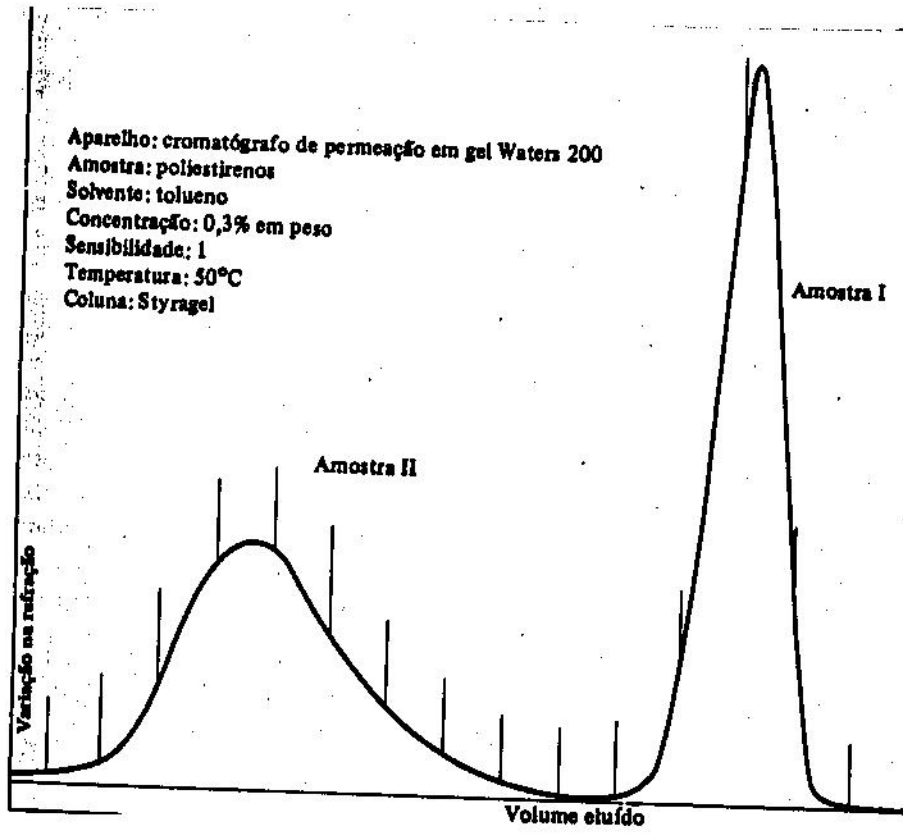
❖ PONDERAL:  $(\bar{M}_w) = \frac{\sum n_i M_i^2}{\sum n_i M_i}$

❖ VISCOSIMÉTRICA:  $(\bar{M}_v) = (\sum n_i M_i^{1+a})^{1/a} / \sum n_i M_i$

## ❖ DISTRIBUIÇÃO DE MASSA MOLECULAR

# DISTRIBUIÇÃO DE MASSAS MOLARES

$$I_p = M_w / M_n$$



# VISCOSIDADE EM SOLUÇÃO DILUÍDA

•viscosidade relativa:  $\eta_r = \frac{\eta}{\eta_0}$

•viscosidade específica:  $\eta_{sp} = \frac{\eta - \eta_0}{\eta_0} = \eta_r - 1$

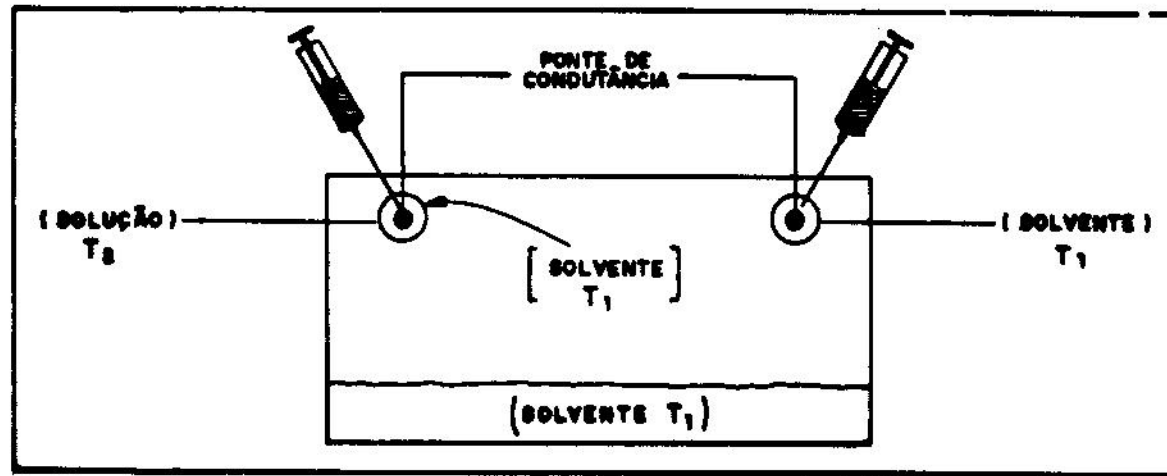
•viscosidade reduzida:  $\eta_{red} = \frac{\eta_{sp}}{C}$

•Huggins  $\frac{\eta_{sp}}{C_p} = [\eta] + k_H \cdot [\eta]^2 \cdot C_p$

$$[\eta] = K \overline{M}_v^\alpha$$

$$\overline{M}_v = \frac{(\sum n_i M_i^{1+a})^{1/a}}{\sum n_i M_i}$$

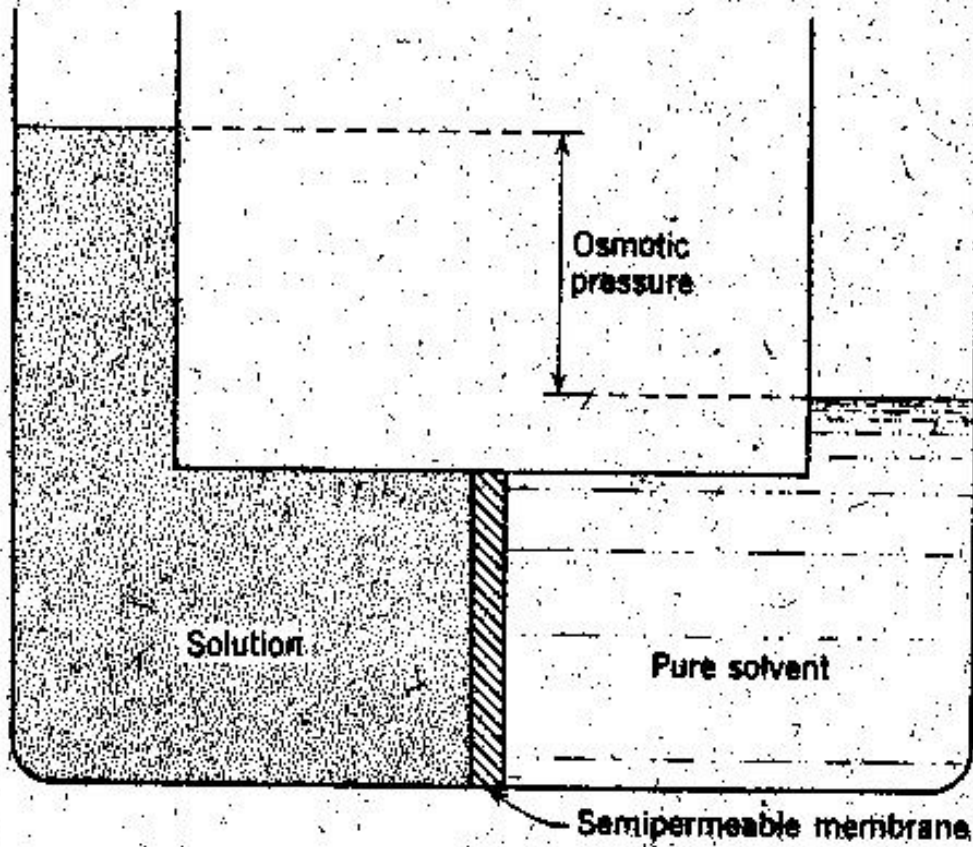
# OSMOMETRIA EM FASE VAPOR/TONOMETRIA



## •LIMITAÇÕES:

- $M_n \leq 40000$  g/mol
- Solubilidade
- Perdas de calor
- Precisão
- Reprodutibilidade

# OSMOMETRIA DE MEMBRANA



## •LIMITAÇÕES

- $M_n > 50000$  g/mol
- Frações de baixa massa molar
- Disponibilidade de membranas

# OSMOMETRO DE ZIMM

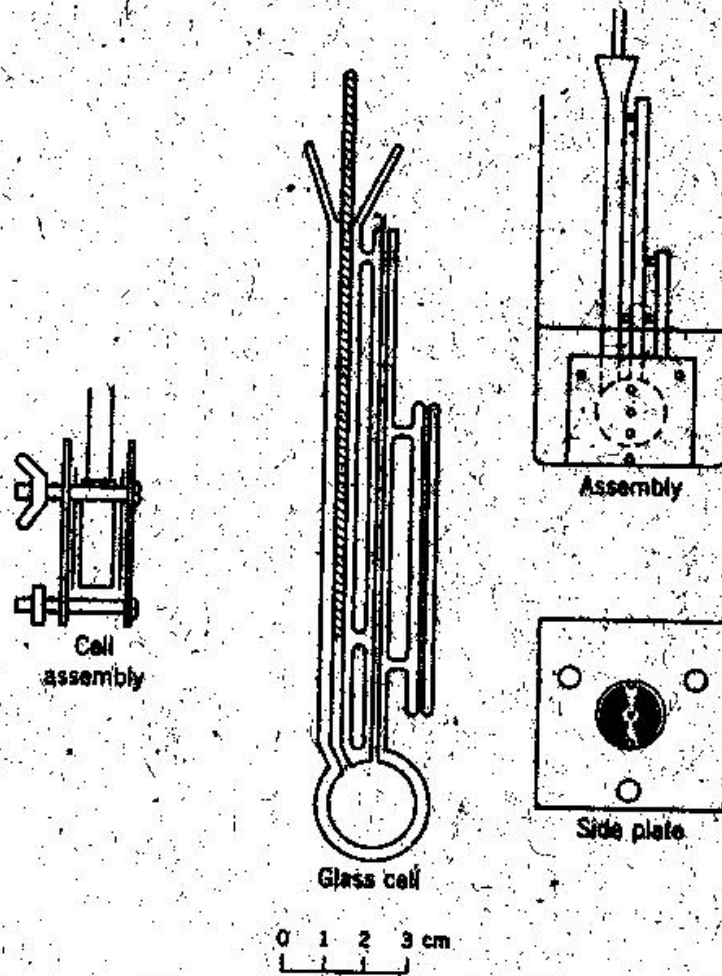
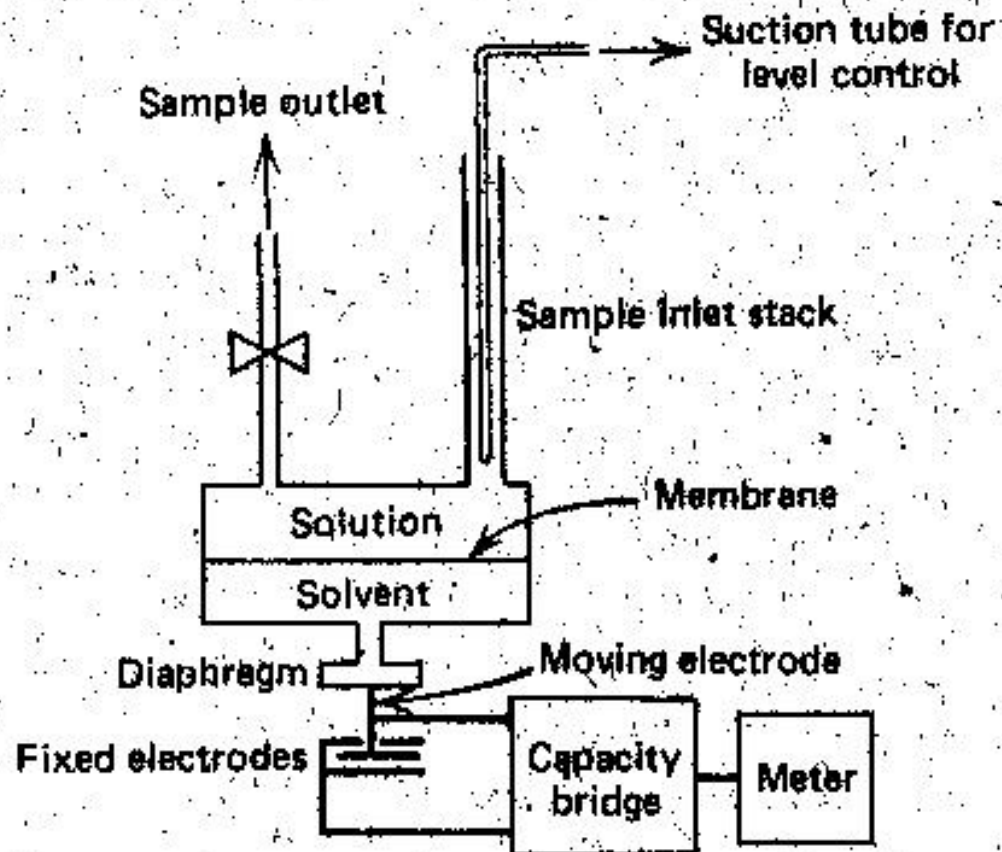


Diagram of the Zimm-Myerson osmometer (Zimm 1946). A typical diameter for the meas-





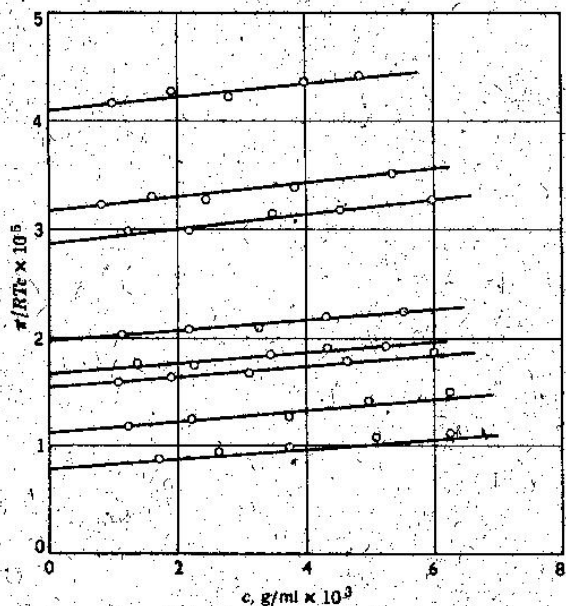


FIG. 8-5. Plots of  $\pi/RTc = 1/\overline{M}_n$  versus  $c$  for cellulose acetate fractions in acetone solution (Badgley 1949).

$$\frac{\pi}{C_p} = \frac{RT}{\overline{M}_n} + A_2 C_p + A_3 C_p + \dots$$

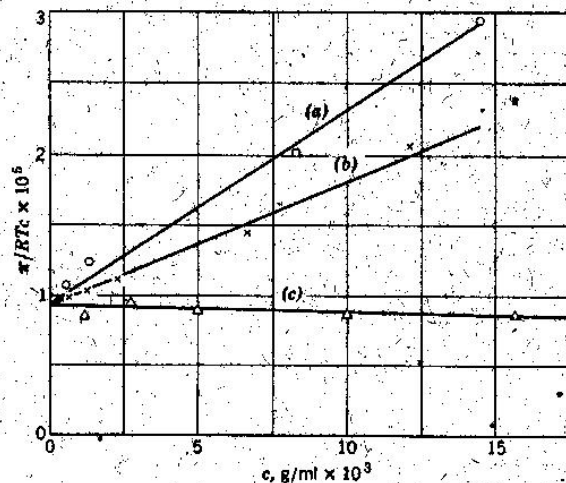
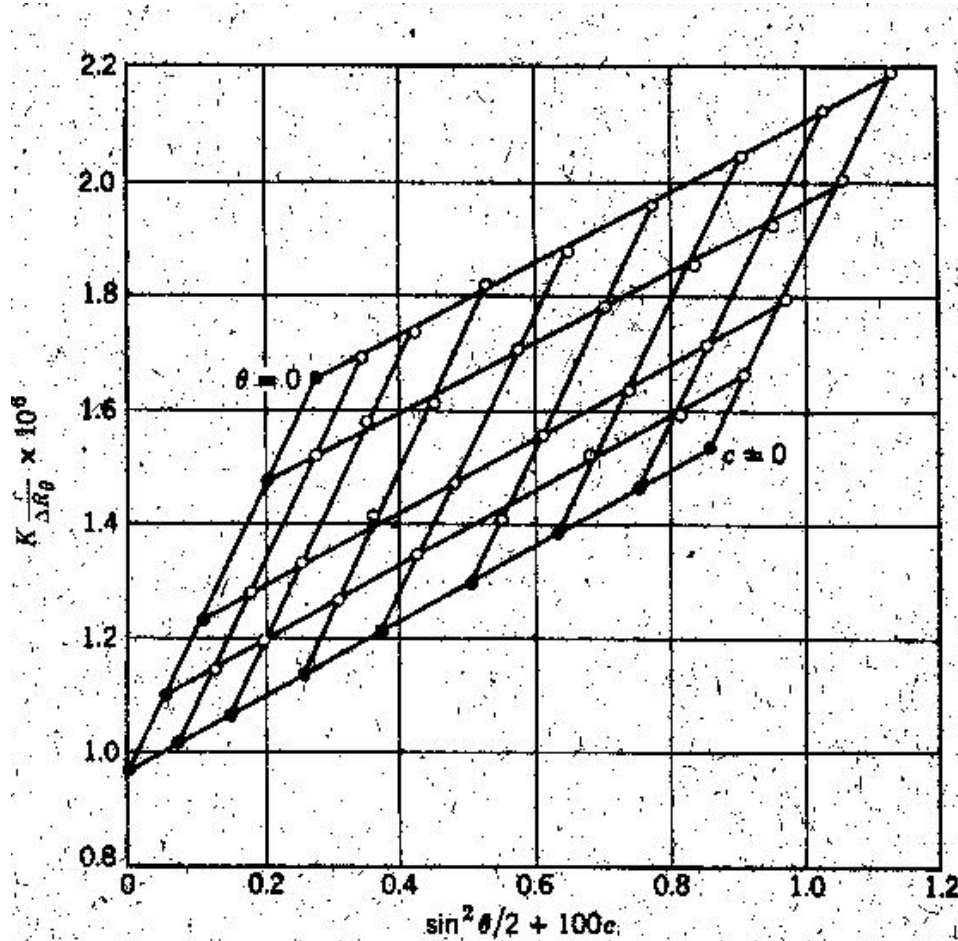


FIG. 8-6. Plot of  $\pi/RTc = 1/\overline{M}_n$  versus  $c$  for nitrocellulose in (a) acetone, (b) methanol, and (c) nitrobenzene (Gee 1944, data of Dobry 1935).

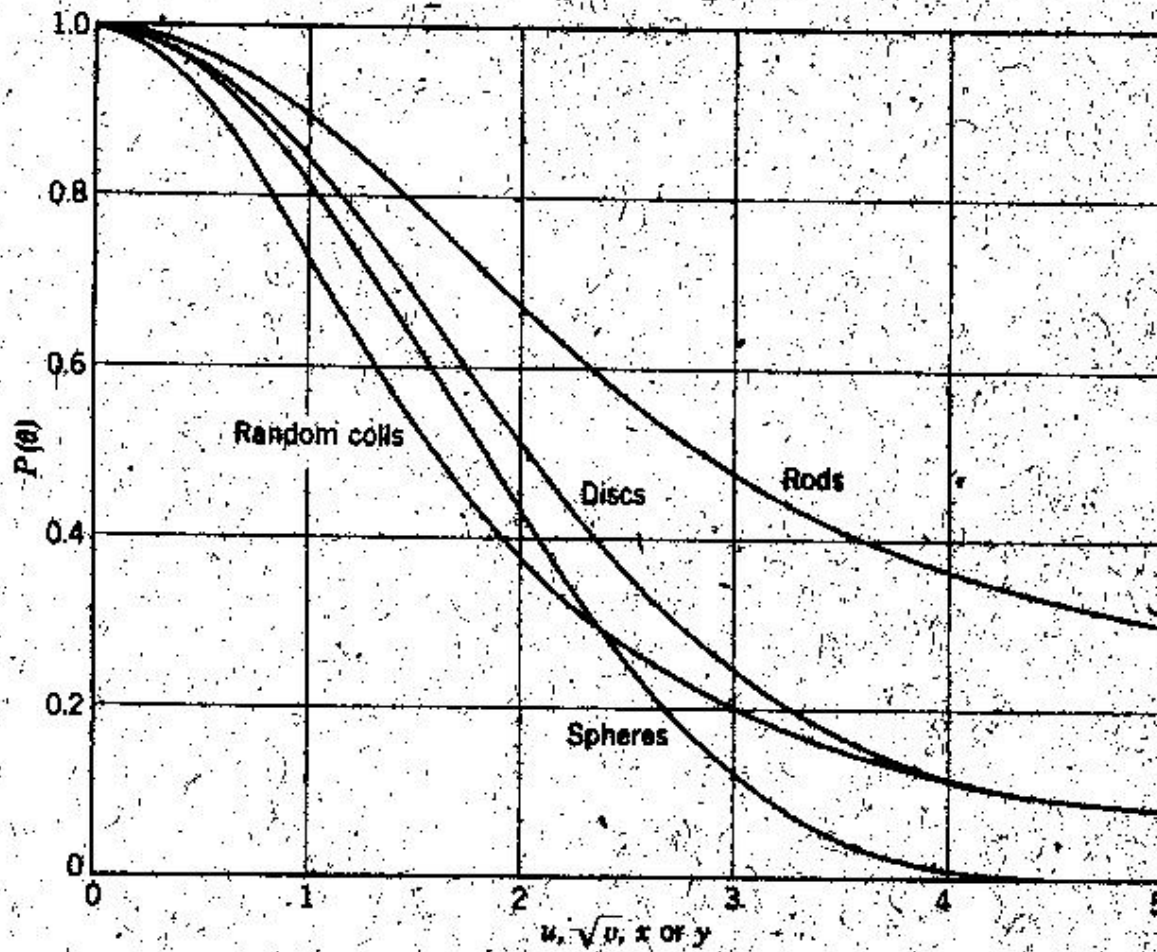
$$\overline{M}_n = \frac{\sum n_i M_i}{\sum n_i}$$

# PLOT DE ZIMM

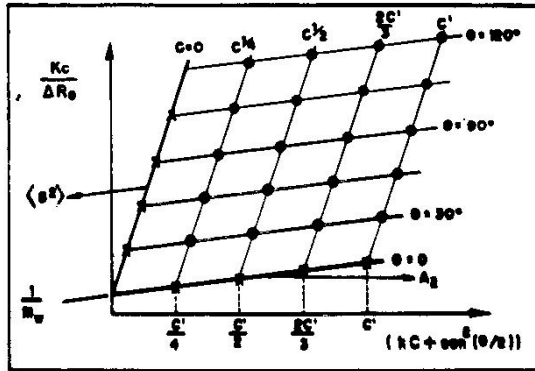
$$\frac{KC_p}{\Delta R_\theta} = \frac{1}{M_w} + 2A_2C_p + 3A_3C_p^2 + \dots$$



# ESPALHAMENTO DE LUZ



# PLOT DE ZIMM



$$\left[ \frac{Kc}{\Delta R_\theta} \right]_{\theta \rightarrow 0} = M_w^{-1} + 2A_2 \cdot c \quad P^{-1} \theta \rightarrow 0 \rightarrow 1$$

$$\left[ \frac{Kc}{\Delta R_\theta} \right]_{c \rightarrow 0} = M_w^{-1} \cdot P^{-1}(\theta)$$

$$P^{-1}(\theta) = 1 + \frac{16\pi^2}{3\lambda_0^2} \langle s^2 \rangle_P \sin^2 \theta/2 \quad (1a)$$

$$\left[ \frac{Kc}{\Delta R_\theta} \right]_{\theta \rightarrow 0} = \frac{1}{M_w}$$

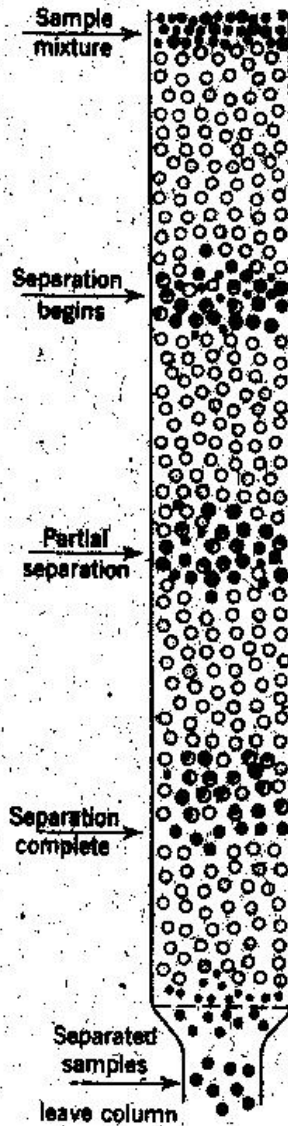
A inclinação para  $\theta \rightarrow 0$   $s = 2A_2$  (segundo coeficiente do virial)

A inclinação para  $c \rightarrow 0$

$$s = \frac{16\pi^2}{3\lambda_0^2} \langle s^2 \rangle_P M_w^{-1}$$

$$\overline{M}_w = \frac{\sum n_i M_i^2}{\sum n_i M_i}$$

# CROMATOGRAFIA DE EXCLUSÃO POR TAMANHO



$$\overline{M}_w = \frac{\sum n_i M_i^2}{\sum n_i M_i}$$

$$\overline{M}_n = \frac{\sum n_i M_i}{\sum n_i}$$

# CALIBRAÇÃO UNIVERSAL

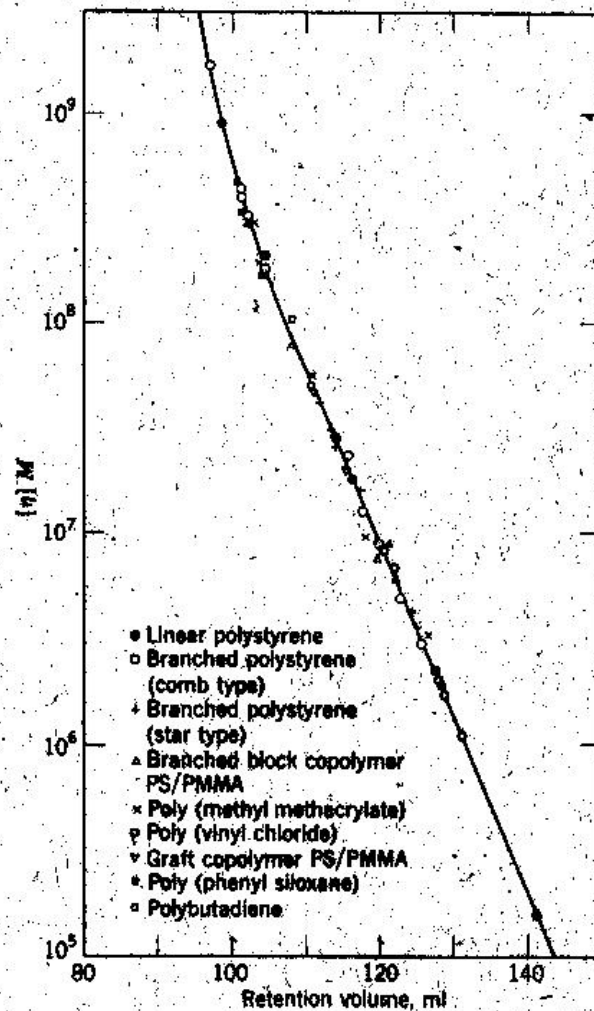


FIG. 8-15. Calibration curve for gel permeation chromatography based on hydrodynamic volume as expressed by the product  $[\eta]M$  (Grubisic 1967). Among the polymer types shown are linear polystyrene, two types of branched polystyrene, poly(methyl methacrylate), poly(vinyl chloride), polybutadiene, poly(phenyl siloxane), and two types of copolymer.

# DISTRIBUIÇÃO DE MASSA MOLECULAR

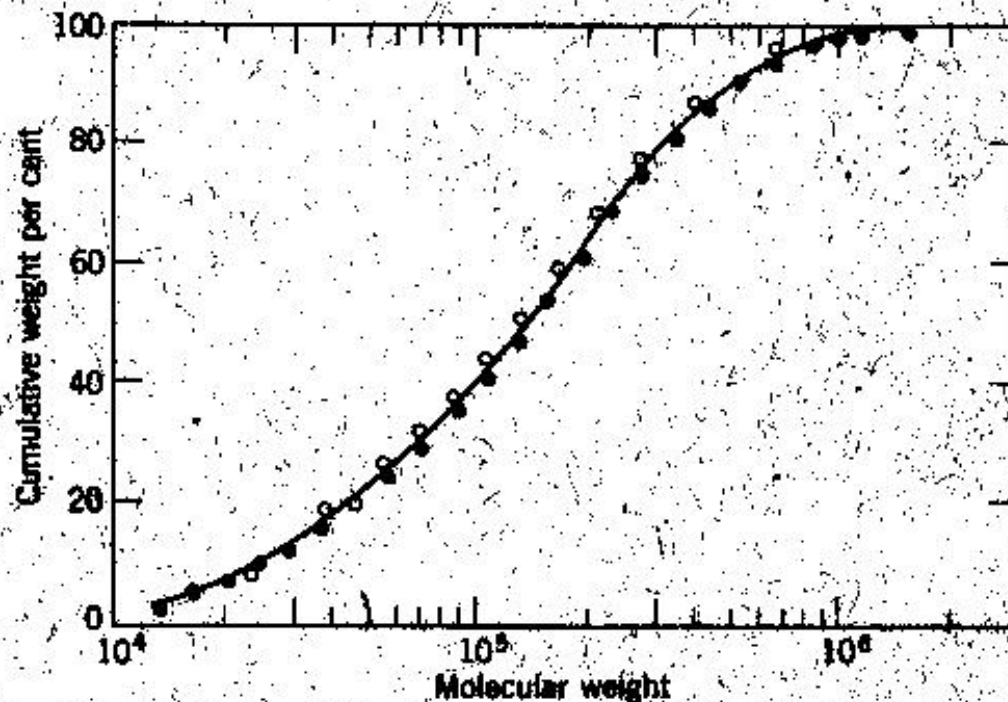


FIG. 8-16. Typical cumulative molecular-weight distribution curve for a sample of polypropylene (Crouzet, 1969): gradient-elution data (○) and data from gel permeation chromatography (●). Molecular weight is plotted logarithmically because of the very broad distribution in this sample.

# DISTRIBUIÇÃO DE MASSA MOLECULAR

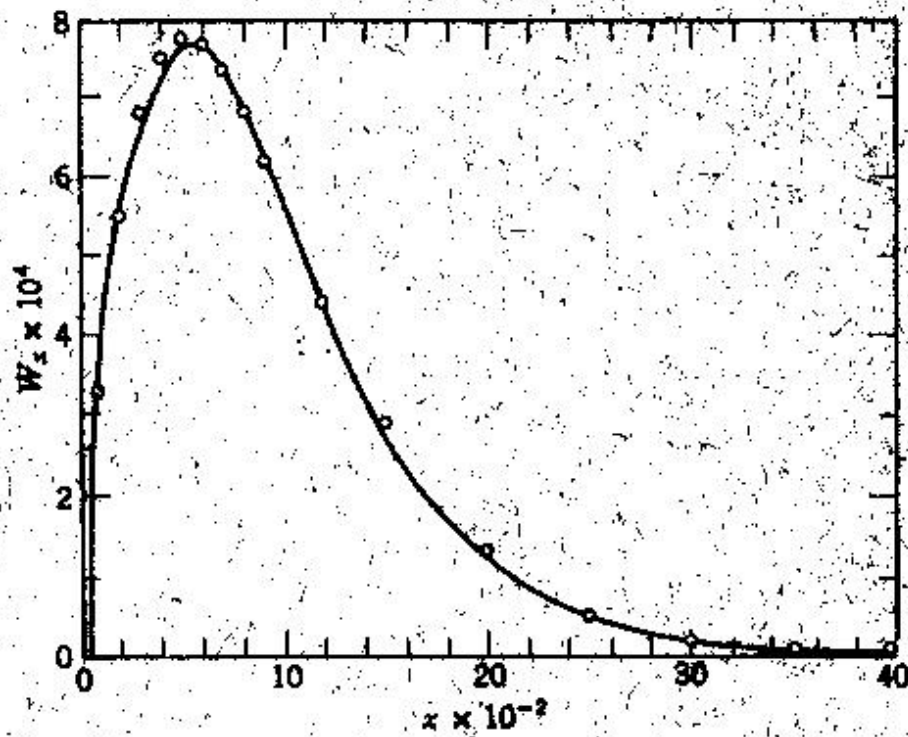


FIG. B-17. Fit of gel permeation chromatography data for polystyrene to a molecular-weight distribution curve calculated from polymerization kinetics (May 1968).